

第六章 信号与系统的复频域分析

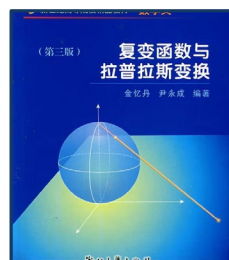
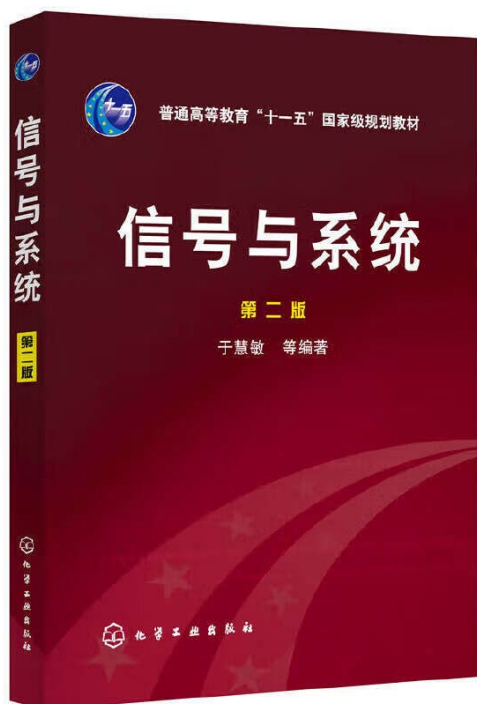
叶慧慧

yehuihui@zju.edu.cn



第六章 信号与系统的复频域分析

《信号与系统》

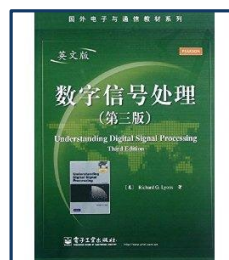


复变函数与拉普拉斯变换

- 微分方程求解

电路

- 线性动态电路得复频域分析



数字信号处理

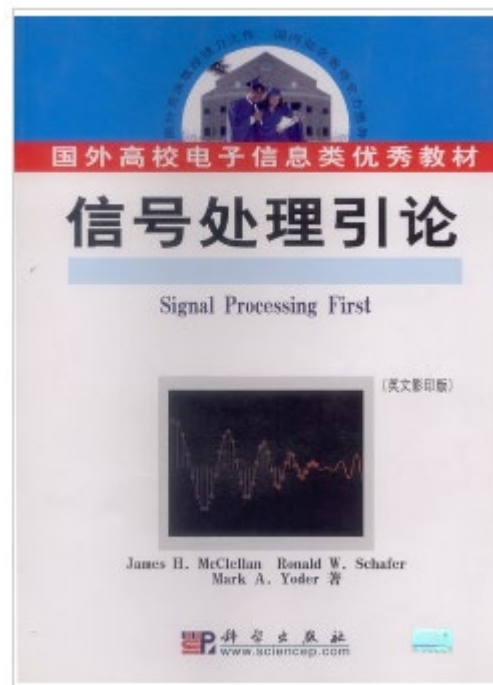
- z 变换



第六章 信号与系统的复频域分析

《信号与系统》

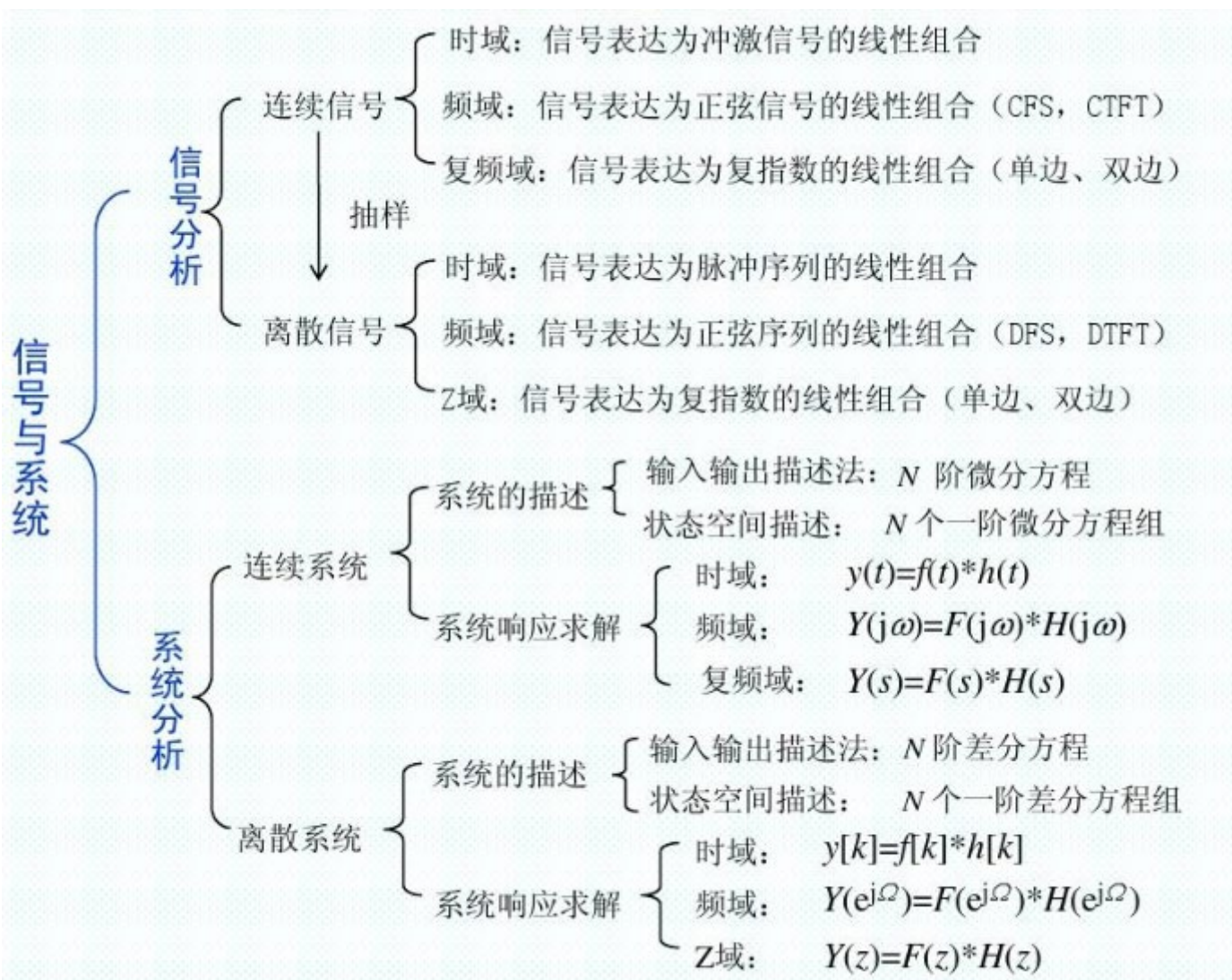
信号处理引论：[英文版] | Signal Processing First影印版
(sciencereading.cn)





第六章 信号与系统的复频域分析

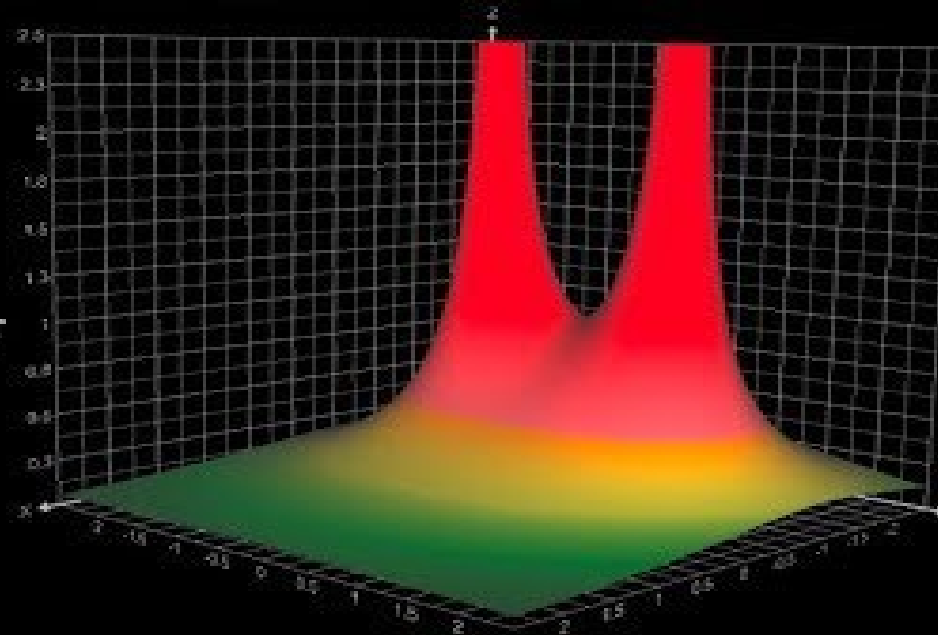
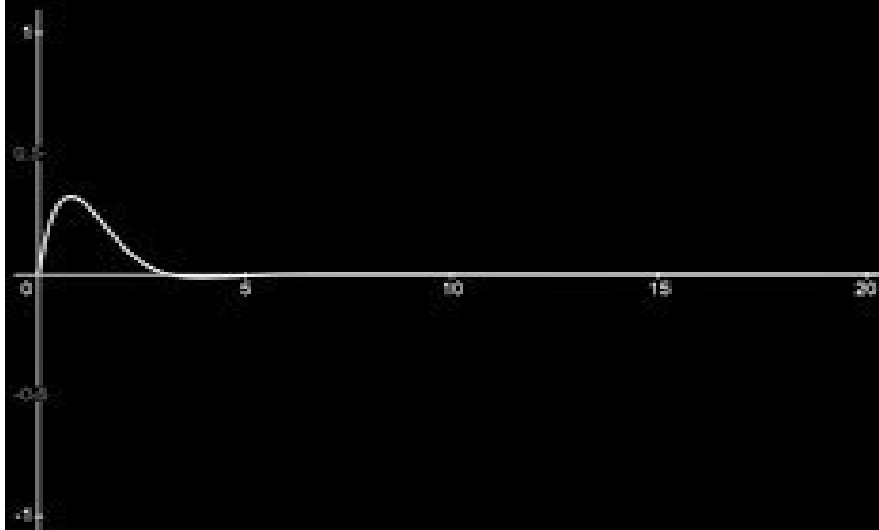
《信号与系统》



B站：拉普拉斯变换到底告诉我们什么？

<https://youtu.be/n2y7n6jw5d0>

The Laplace Transform

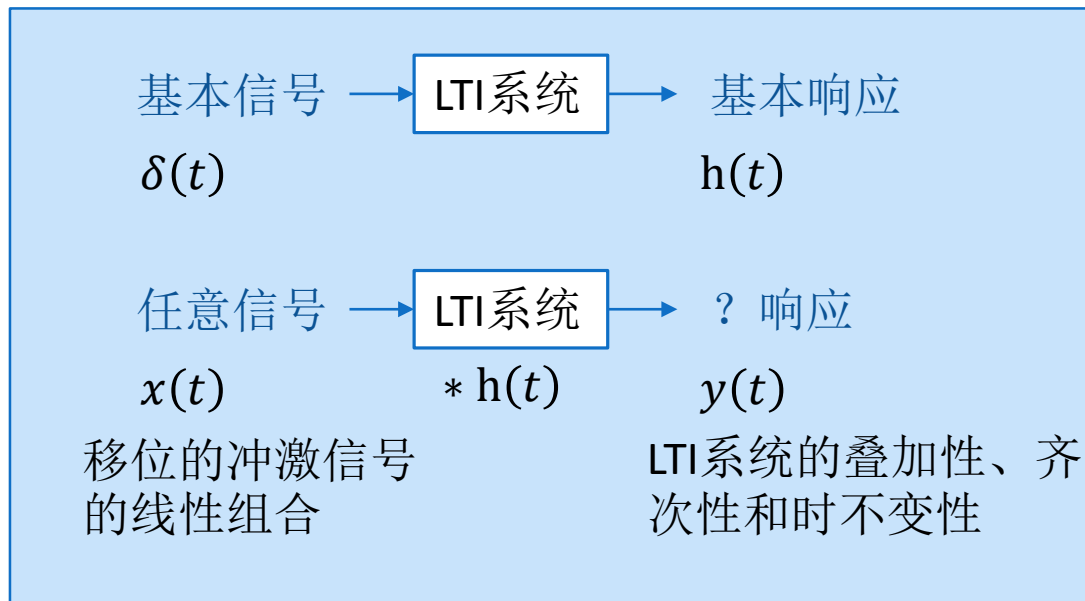


傅里叶变换、拉普拉斯变换、 z 变换的联系是什么？为什么要进行这些变换？

Zhihu.com

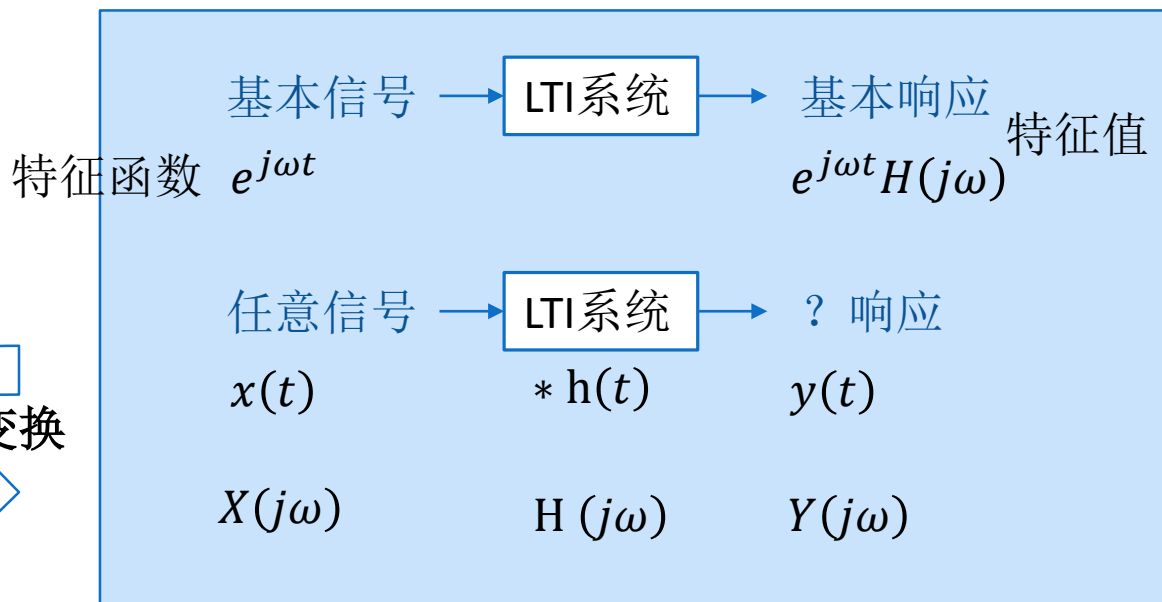
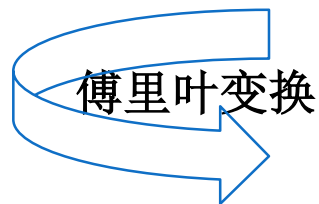


- 6.0 引言
- 6.1 拉普拉斯变换
- 6.2 常用拉普拉斯变换对
- 6.3 拉普拉斯变换的性质
- 6.4 周期信号的拉普拉斯变换
- 6.5 拉普拉斯反变换
- 6.6 单边拉普拉斯变换
- 6.7 系统的复频域分析



卷积

- 1. 已知单位冲激信号的单位冲激响应
- 2. 将任意信号分解成单位冲激信号的组合
- 3. 得到任意信号的响应



卷积
乘积

- 1. 已知基本信号的基本响应
- 2. 将任意信号分解成基本信号的组合（傅里叶变换）
- 3. 得到任意信号的频域响应

但是，不是所有信号都可以进行傅里叶变换，需满足收敛条件



6.1 拉普拉斯变换

6.1.1 从傅里叶变换到拉普拉斯变换

一个信号 $x(t)$ 的傅里叶变换的存在条件是该信号绝对可积，但有很多重要信号不满足该条件。

$$\int_{-\infty}^{\infty} |x(t)| dt < \infty$$

对那些是因为当 $x \rightarrow \infty$ 时 $x(t)$ 不为零而不满足绝对可积条件的 $x(t)$ ，我们引入一个衰减因子 $e^{-\sigma t}$ ，使得对合适的 σ ， $x(t)e^{-\sigma t}$ 是绝对可积条件的。

阶跃信号

斜坡信号

周期信号

指数信号



$$F\{x(t)e^{-\sigma t}\} = \int_{-\infty}^{\infty} x(t)e^{-\sigma t}e^{-j\omega t}dt = \int_{-\infty}^{\infty} x(t)e^{-(\sigma+j\omega)t}dt$$

$$X(\sigma + j\omega) = \int_{-\infty}^{\infty} x(t)e^{-(\sigma+j\omega)t}dt$$

$$x(t)e^{-\sigma t} = F^{-1}\{X(\sigma + j\omega)\} = \frac{1}{2\pi} \int_{-\infty}^{\infty} X(\sigma + j\omega)e^{j\omega t}d\omega$$

$$x(t) = \frac{1}{2\pi} \int_{-\infty}^{\infty} X(\sigma + j\omega)e^{(\sigma+j\omega)t}d\omega$$



令

$$s = \sigma + j\omega$$

定义

$$X(s) \triangleq \int_{-\infty}^{+\infty} x(t) e^{-st} dt$$

$L\{x(t)\}$ 为 $x(t)$ 的拉普拉斯（正）变换

$$x(t) \xleftrightarrow{L} X(s)$$

$$x(t) = \frac{1}{2\pi j} \int_{\sigma-\infty}^{\sigma+\infty} X(s) e^{st} ds$$

$L^{-1}\{x(t)\}$ 为 $x(t)$ 的拉普拉斯反变换



$$X(s) = \int_{-\infty}^{+\infty} x(t) e^{-st} dt$$

双边拉普拉斯变换

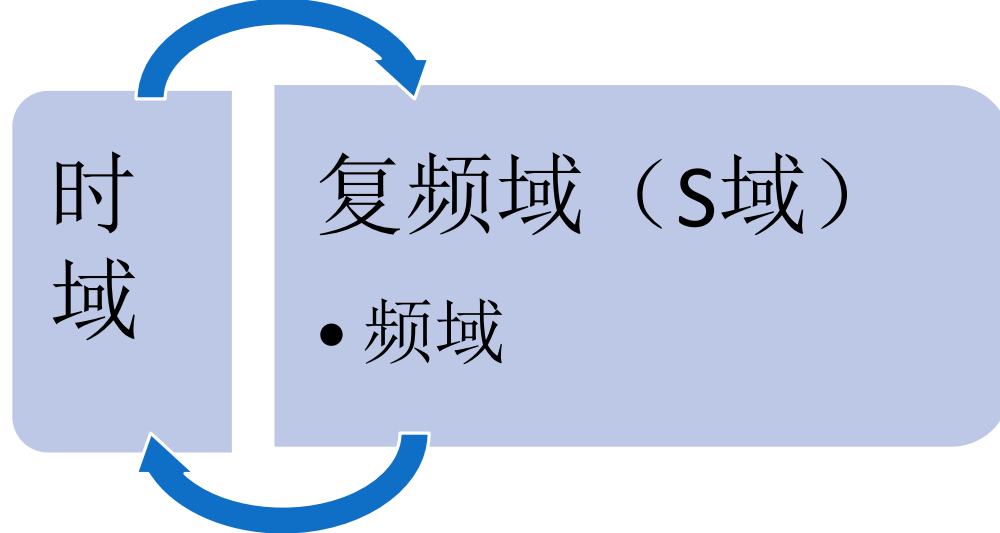


$$x(t)u(t)$$



$$X(s) = \int_0^{+\infty} x(t) e^{-st} dt$$

单边拉普拉斯变换



拉普拉斯变换

$$s = \sigma + j\omega$$

$$X(\sigma + j\omega) = \int_{-\infty}^{+\infty} x(t) e^{-j(\sigma + j\omega)t} dt$$

$$X(\sigma + j\omega) = \int_{-\infty}^{+\infty} [x(t) e^{-\sigma t}] e^{-j\omega t} dt$$

傅立叶变换 $s=j\omega$

$$X(j\omega) = \int_{-\infty}^{+\infty} x(t) e^{-j\omega t} dt$$

$$X(s)|_{s=j\omega} = F\{x(t)\}$$

$x(t)e^{-\sigma t}$ 的傅立叶变换

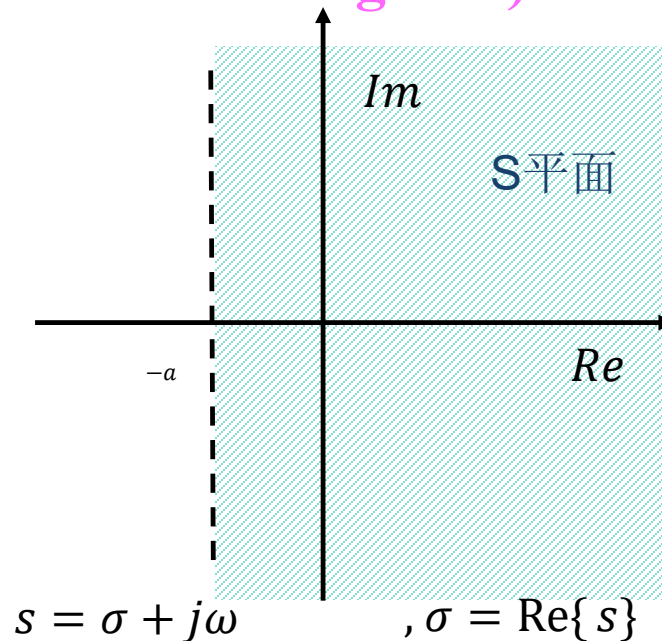


6.1.2 拉普拉斯变换的收敛域

$$X(s) \triangleq \int_{-\infty}^{+\infty} x(t) e^{-st} dt$$

使上式收敛的 s 值的范围称为拉普拉斯变换的收敛域，简记为ROC (Region of Convergence)

使 $x(t)e^{-\sigma t}$ 的傅立叶变换收敛的 s 值 ($s = \sigma + j\omega$)





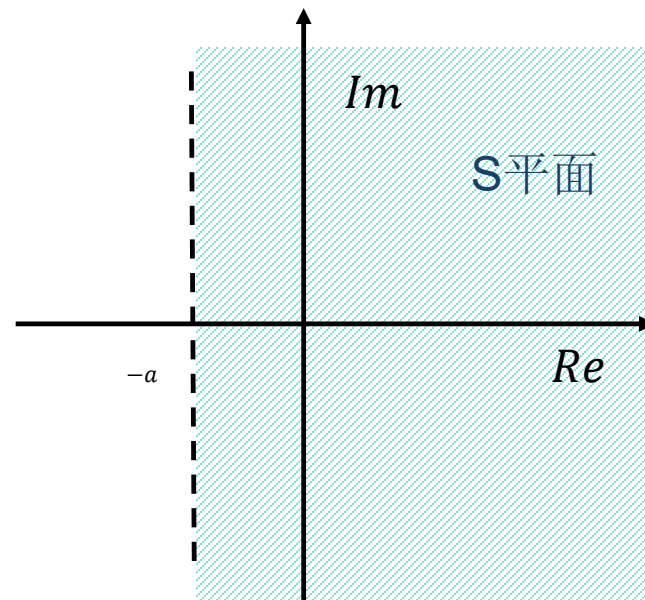
例 6.1

$x(t) = e^{-at}u(t)$ $a > 0$, 求 $X(s)$ 和收敛域

$$\begin{aligned} X(s) &= \int_{-\infty}^{+\infty} e^{-at} u(t) e^{-st} dt = \int_0^{+\infty} e^{-(s+a)t} dt = \frac{1}{s+a} \\ &= \int_0^{+\infty} e^{-(\sigma+a)t} e^{-j\omega t} dt \end{aligned}$$

傅里叶变换绝对可积 $\sigma + a > 0$

$$e^{-at}u(t) \leftrightarrow \frac{1}{s+a}, \quad \text{Re}\{s\} > -a$$



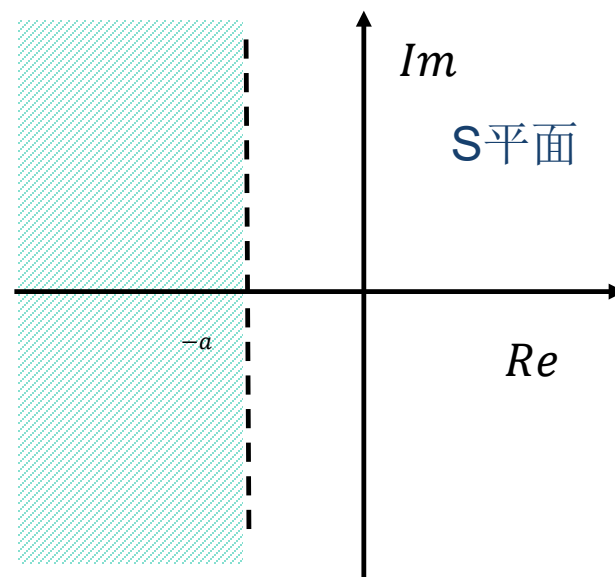
例 6.2

$x(t) = -e^{-at}u(-t)$, , 求 $X(s)$ 和收敛域

$$\begin{aligned} X(s) &= -\int_{-\infty}^{+\infty} e^{-at} e^{-st} u(-t) dt = -\int_{-\infty}^0 e^{-(s+a)t} dt \\ &= \frac{1}{s+a}, \quad \text{Re}\{s\} < -a \end{aligned}$$

傅里叶变换绝对可积 $\sigma + a < 0$

$$-e^{-at}u(-t) \xleftrightarrow{L} \frac{1}{s+a}, \quad \text{Re}\{s\} < -a$$



例 6.3

$$x(t) = 3e^{-2t}u(t) - 2e^{-t}u(t)$$

$$\begin{aligned} X(s) &= \int_{-\infty}^{+\infty} [3e^{-2t}u(t) - 2e^{-t}u(t)]e^{-st}dt \\ &= 3 \int_{-\infty}^{+\infty} e^{-2t}e^{-st}u(t)dt - 2 \int_{-\infty}^{\infty} e^{-t}e^{-st}u(t)dt \end{aligned}$$

$$X(s) = \frac{3}{s+2} - \frac{2}{s+1}$$

$$e^{-t}u(t) \leftrightarrow \frac{1}{s+1}, \quad \boxed{\operatorname{Re}\{s\} > -1}$$

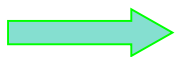
$$e^{-2t}u(t) \leftrightarrow \frac{1}{s+2}, \quad \boxed{\operatorname{Re}\{s\} > -2}$$

$$3e^{-2t}u(t) - 2e^{-t}u(t) \leftrightarrow \frac{s-1}{s^2+3s+2}, \quad \boxed{\operatorname{Re}\{s\} > -1}$$

例 6.4

$$x(t) = e^{-2t}u(t) + e^{-t}(\cos 3t)u(t)$$

欧拉
关系



$$x(t) = [e^{-2t} + \frac{1}{2}e^{-(1-3j)t} + \frac{1}{2}e^{-(1+3j)t}]u(t)$$

$$\begin{aligned} X(s) &= \int_{-\infty}^{+\infty} e^{-2t}u(t)e^{-st}dt + \frac{1}{2} \int_{-\infty}^{+\infty} e^{-(1-3j)t}u(t)e^{-st}dt \\ &+ \frac{1}{2} \int_{-\infty}^{+\infty} e^{-(1+3j)t}u(t)e^{-st}dt \end{aligned}$$

$$e^{-2t}u(t) \leftrightarrow \frac{1}{s+2}, \quad \text{Re}\{s\} > -2$$

$$e^{-(1-3j)t}u(t) \leftrightarrow \frac{1}{s+(1-3j)}, \quad \text{Re}\{s\} > -1$$

$$e^{-(1+3j)t}u(t) \leftrightarrow \frac{1}{s + (1 + 3j)}, \quad \text{Re}\{s\} > -1$$

$$X(s) = \frac{1}{s + 2} + \frac{1}{2} \left(\frac{1}{s + (1 - 3j)} \right) + \frac{1}{2} \left(\frac{1}{s + (1 + 3j)} \right), \quad \text{Re}\{s\} > -1$$

$$e^{-2t}u(t) + e^{-2t}(\cos 3t)u(t) \xleftrightarrow{L} \frac{2s^2 + 5s + 12}{(s^2 + 2s + 10)(s + 2)}, \quad \text{Re}\{s\} > -1$$



6.1.3 拉普拉斯变换的零极点图

$$X(s) = \frac{N(s)}{D(s)} = \frac{\sum_0^{m+1} b_m s^m}{\sum_0^{n+1} b_n s^n}, \quad n > m$$

有理式

$N(s)$ — 分子多项式

$D(s)$ — 分母多项式

只要 $x(t)$ 是实指数或复指数信号的线性组合， $X(s)$ 一定是有理的。

$$\frac{-b \pm \sqrt{b^2 - 4ac}}{2a}$$

有理拉普拉斯变换

分子多项式的根： $X(s)=0$ ， $X(s)$ 的零点

分母多项式的根： $X(s)$ 无界， $X(s)$ 的极点

$X(s)$ 的零极点图 S 平面内的极点和零点的 $X(s)$ 的表示

有理拉普拉斯变换  变换的零极点图 + ROC

方便 形象

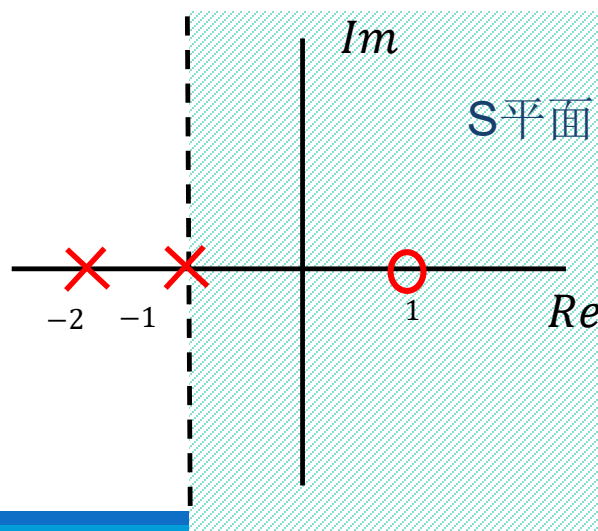
在S平面内标出 $N(s)$ 和 $D(s)$ 的根的位置，并指出收敛域
ROC

× — 分母多项式的根 的位置 ○ — 分子多项式的根 的位置

例 6.3 $3e^{-2t}u(t) - 3e^{-t}u(t) \leftrightarrow \frac{s-1}{s^2+3s+2}, \quad \text{Re}\{s\} > -1$

O: $s = 1$

X: $s = -1, s = -2$

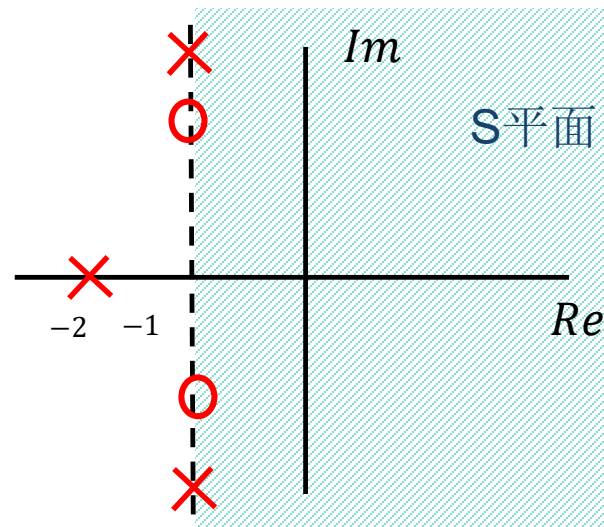


例 6.4

$$e^{-2t}u(t) + e^{-2t}(\cos 3t)u(t) \xleftrightarrow{L} \frac{2s^2 + 5s + 12}{(s^2 + 2s + 10)(s + 2)}, \quad \text{Re}\{s\} > -1$$

$$O: s = -\frac{5}{4} \pm j\sqrt{71}$$

$$\times: s = -1 \pm j3, \quad s = -2$$



例 6.5

$$x(t) = \delta(t) - \frac{4}{3}e^{-t}u(t) + \frac{1}{3}e^{2t}u(t)$$

$$L\{\delta(t)\} = \int_{-\infty}^{+\infty} \delta(t) e^{-st} dt = 1$$

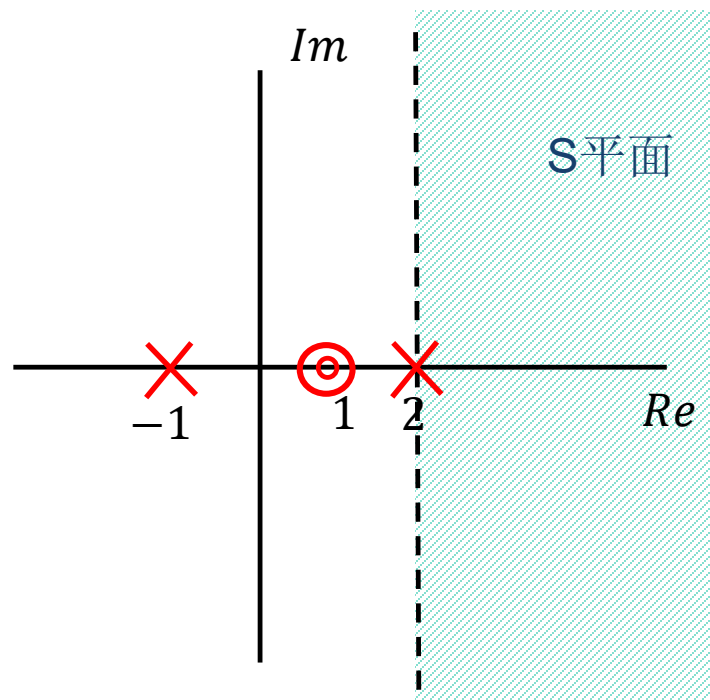
ROC: 整个s平面

$$X(s) = 1 - \frac{4}{3} \frac{1}{s+1} + \frac{1}{3} \frac{1}{s-2}, \operatorname{Re}\{s\} > 2$$

或

$$X(s) = \frac{(s-1)^2}{(s+1)(s-2)}, \quad \operatorname{Re}\{s\} > 2$$

例 6.5的零极图 和 ROC




重复次数：阶数

$S=1$ ：二阶零点

6.1.4 拉普拉斯变换的收敛域特性

性质1: $X(s)$ 的ROC在 s 平面内由平行于 $j\omega$ 轴的带状区域所组成。

$X(s)$ 的ROC  使 $x(t)e^{-\sigma t}$ 的傅立叶变换收敛的 s 值
($s = \sigma + j\omega$)

即

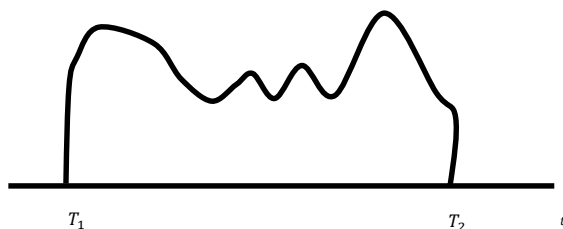
$$\int_{-\infty}^{+\infty} |x(t)| e^{-\sigma t} dt < \infty$$

$x(t)e^{-\sigma t}$ 绝对可积

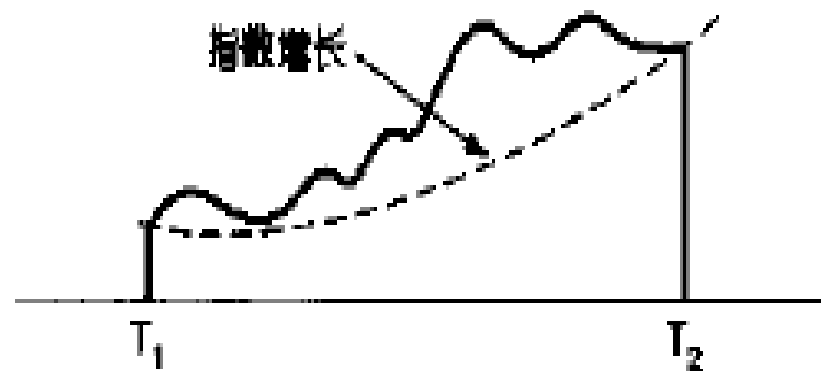
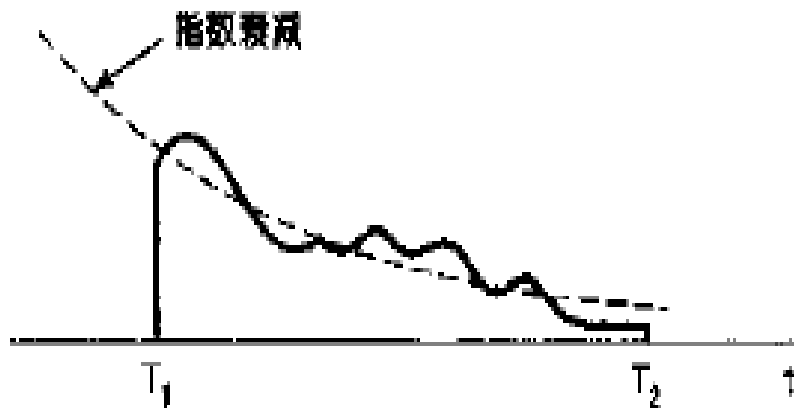
只与 σ 有关

性质2: 对有理拉普拉斯变换, ROC不包括任何极点

性质3: 如果 $x(t)$ 是有限持续期, 并且是绝对可积的, 那么ROC就是整个 s 平面.



有限持续时间信号



证明

设 $x(t)$ 绝对可积

$$\int_{T_1}^{T_2} |x(t)| dt < \infty$$



$$\sigma = 0$$

$$\int_{T_1}^{T_2} |x(t)| e^{-\sigma t} dt < \infty$$

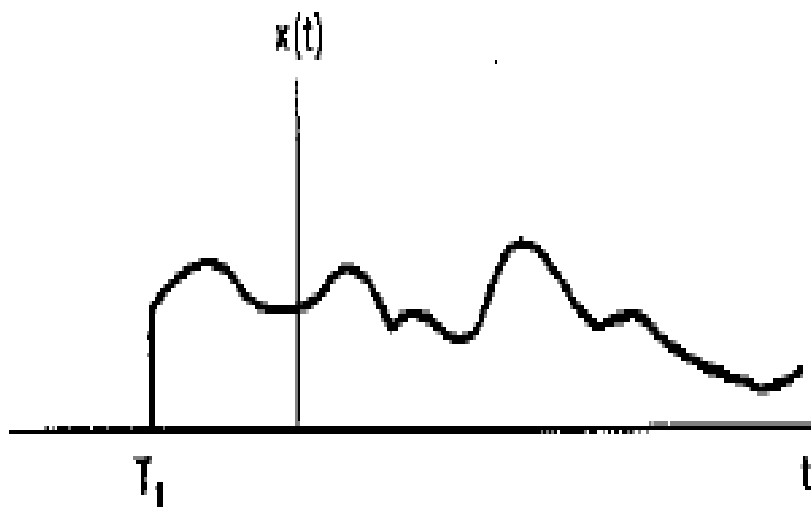
$$\sigma > 0$$

$$\int_{T_1}^{T_2} |x(t)| e^{-\sigma t} dt < e^{-\sigma T_1} \int_{T_1}^{T_2} |x(t)| dt$$

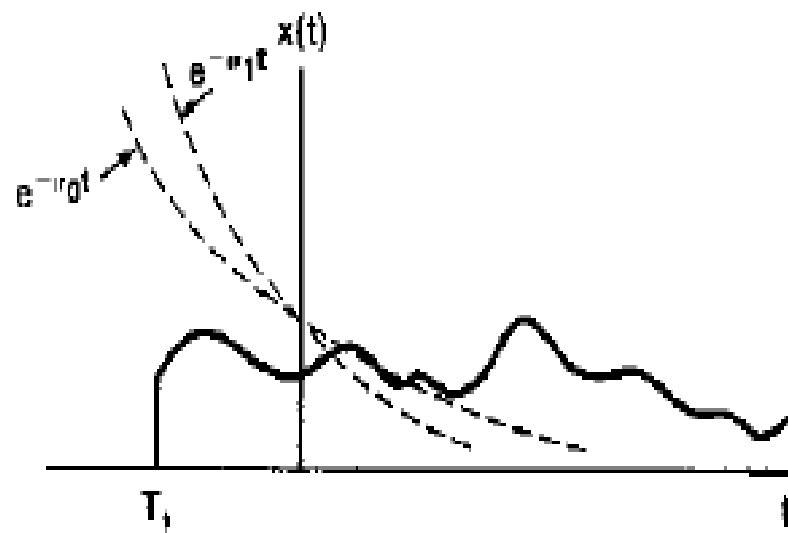
$$\sigma < 0$$

$$\int_{T_1}^{T_2} |x(t)| e^{-\sigma t} dt < e^{-\sigma T_2} \int_{T_1}^{T_2} |x(t)| dt$$

性质4: 如果 $x(t)$ 是右边信号, 而且如果 $\text{Re}\{s\} = \sigma_0$ 这条线位于ROC内, 那么 $\text{Re}\{s\} > \sigma_0$ 的全部 s 值都一定在ROC内。



右边信号 $x(t)$



$\sigma_1 > \sigma_0$, $e^{-\sigma_1 t}$ 衰减比 $e^{-\sigma_0 t}$ 快

如果

$$\int_{-\infty}^{\infty} |x(t)| e^{-\sigma_0 t} dt < \infty$$

右边信号，等效为

$$\int_{T_1}^{\infty} |x(t)| e^{-\sigma_0 t} dt < \infty$$

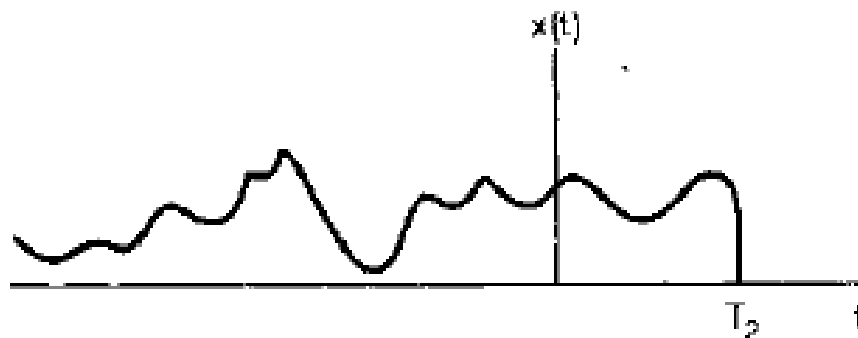
如果 $\sigma_1 > \sigma_0$ $t \rightarrow \infty$, $e^{-\sigma_1 t}$ 衰减比 $e^{-\sigma_0 t}$ 快

$$\begin{aligned} \int_{T_1}^{\infty} |x(t)| e^{-\sigma_1 t} dt &= \int_{T_1}^{\infty} |x(t)| e^{-\sigma_0 t} e^{-(\sigma_1 - \sigma_0)t} dt \\ &\leq e^{-(\sigma_1 - \sigma_0)T_1} \int_{T_1}^{\infty} |x(t)| e^{-\sigma_0 t} dt \end{aligned}$$

$x(t)e^{-\sigma_1 t}$ 绝对可积

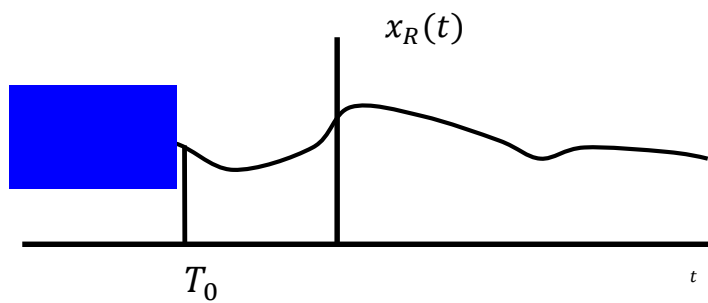
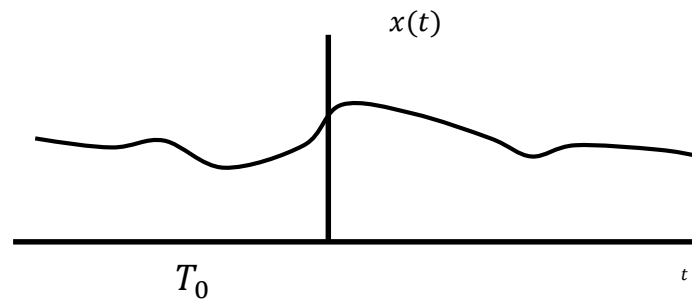
性质5: 如果 $x(t)$ 是左边信号, 而且如果 $\text{Re}\{s\} = \sigma_0$ 这条线位于ROC内, 那么 $\text{Re}\{s\} < \sigma_0$ 的全部 s 值都一定在ROC内。

左边信号
 $x(t)$



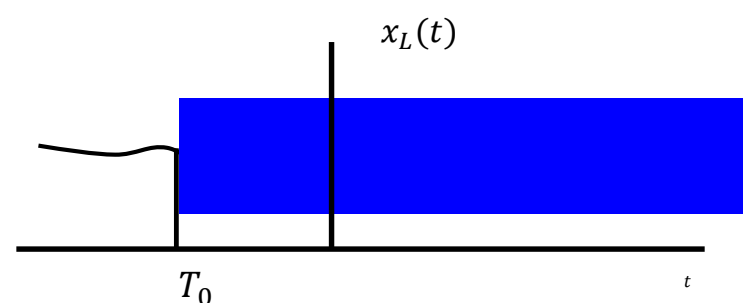
ROC: 左半平面

性质6: 如果 $x(t)$ 是双边信号, 而且如果 $\text{Re}\{s\} = \sigma_0$ 这条线位于ROC内, 那么ROC 就一定是由 s 平面的一条带状区域所组成, 直线 $\text{Re}\{s\} = \sigma_0$ 位于带中。



$L\{x_R(t)\}$ 的ROC

$$\text{Re}\{s\} > \sigma_R$$



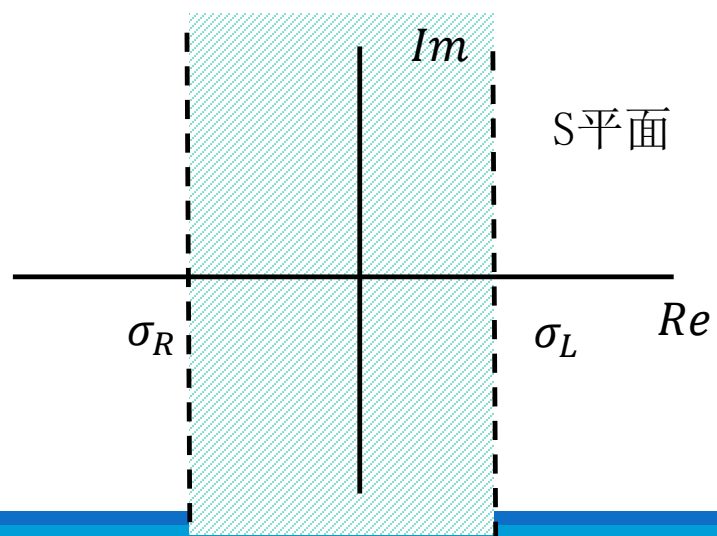
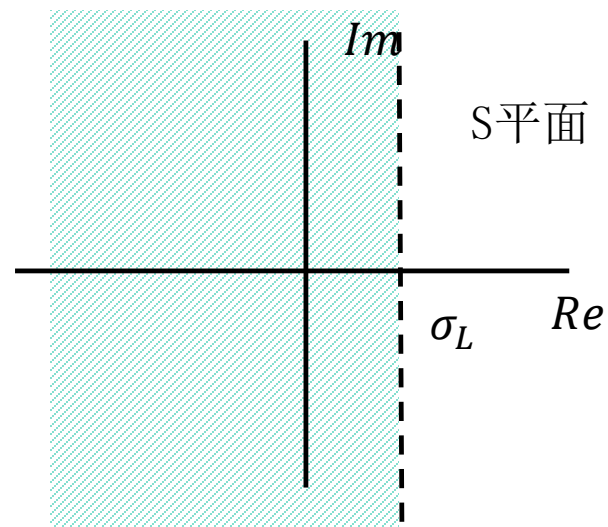
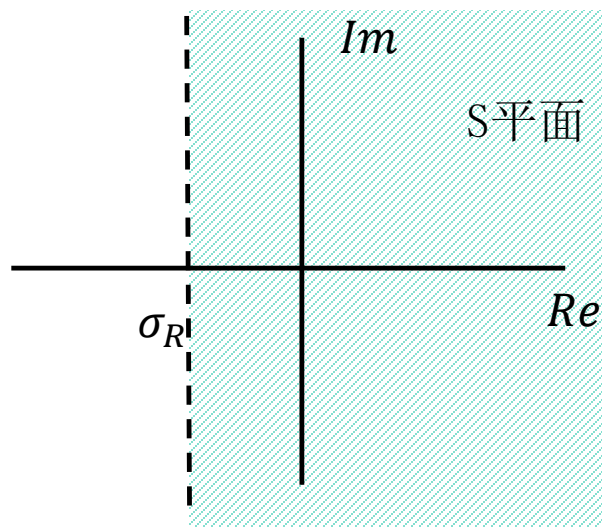
$L\{x_L(t)\}$ 的ROC

$$\text{Re}\{s\} > \sigma_L$$

$L\{x(t)\}$ 的ROC



两个半平面的重合,
($\sigma_R < \sigma_L$)



例6.7 $x(t) = e^{-b|t|}$

$$x(t) = e^{-bt}u(t) + e^{bt}u(-t)$$

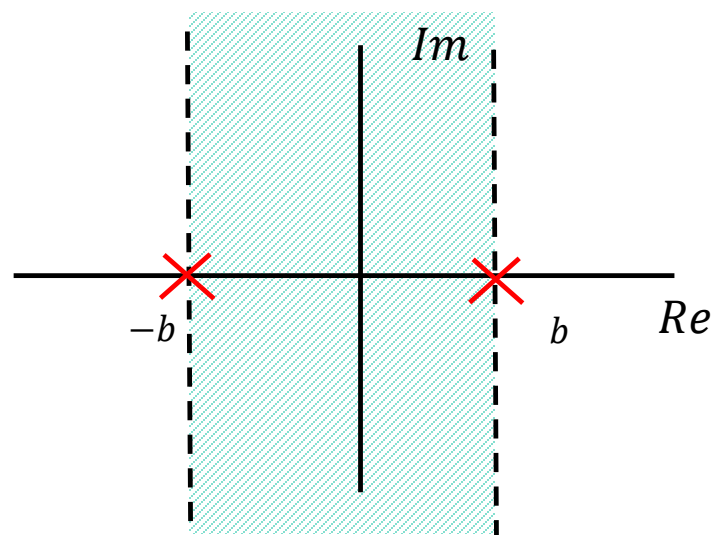
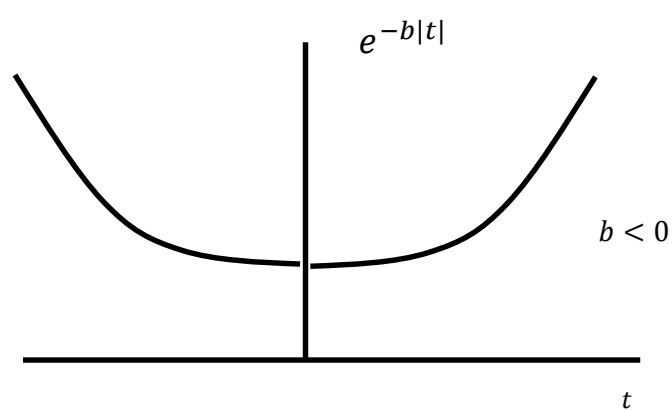
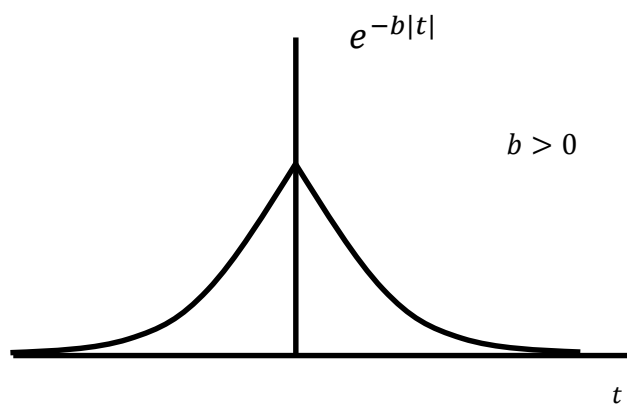
$$e^{-bt}u(t) \leftrightarrow \frac{1}{s+b}, \quad \text{Re}\{s\} > -b$$

$$e^{bt}u(-t) \leftrightarrow \frac{-1}{s-b}, \quad \text{Re}\{s\} < b$$

$b \leq 0$: 无公共收敛域

$b > 0$:

$$e^{-b|t|} \xleftrightarrow{L} \frac{1}{s+b} - \frac{1}{s-b} = \frac{-2b}{s^2 - b^2}, \quad -b < \text{Re}\{s\} < +b$$



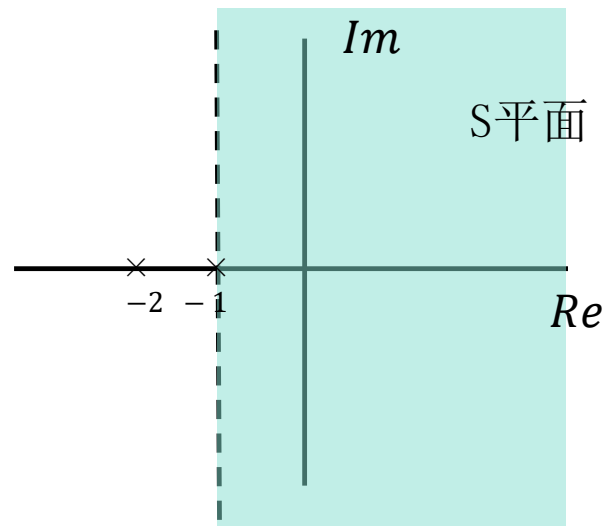
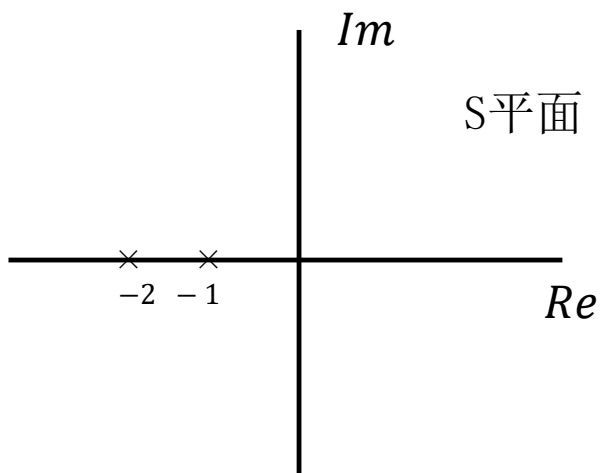
性质7: 如果 $x(t)$ 的拉普拉斯变换 $X(s)$ 是有理的, 那么它的ROC是被极点所界定或延伸到无限远。另外, 在ROC内不包含 $X(s)$ 的任何极点。

性质8: 如果 $x(t)$ 的拉普拉斯变换 $X(s)$ 是有理的, 若 $x(t)$ 是右边信号, 则其ROC在 s 平面上位于最右边极点的右边; 若 $x(t)$ 是左边信号, 则其ROC在 s 平面上位于最左边极点的左边。

例6.8

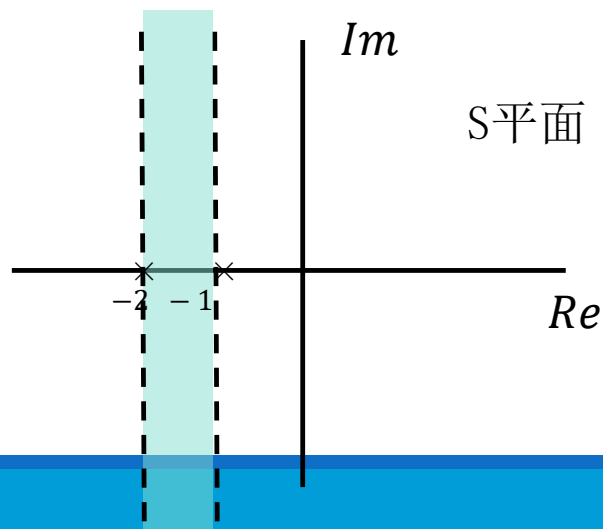
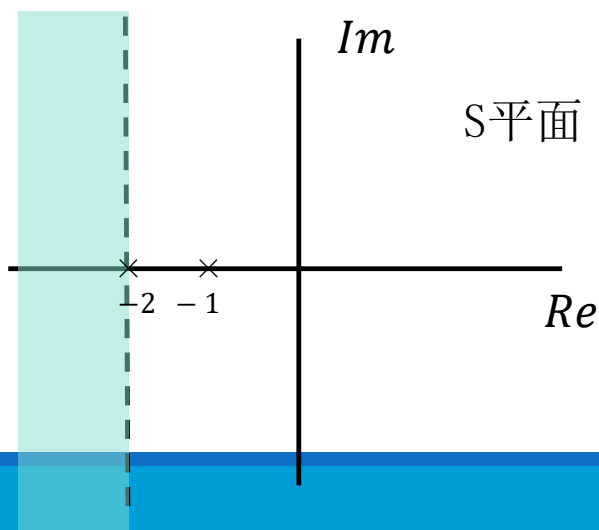
$$X(s) = \frac{1}{(s+1)(s+2)}$$

零极
点图



右边
信号

左边
信号



双边
信号



6.2 常用拉普拉斯变换对

$$\delta(t) \xleftrightarrow{L} 1, ROC$$

$$u(t) \xleftrightarrow{L} 1/s, \operatorname{Re}\{s\} > 0$$

$$-u(-t) \xleftrightarrow{L} 1/s, \operatorname{Re}\{s\} < 0$$

$$\frac{t^{n-1}}{(n-1)!} u(t) \xleftrightarrow{L} \frac{1}{s^n}, \operatorname{Re}\{s\} > 0$$

$$-\frac{t^{n-1}}{(n-1)!} u(-t) \xleftrightarrow{L} \frac{1}{s^n}, \operatorname{Re}\{s\} < 0$$

$$e^{-at}u(t) \xleftrightarrow{L} \frac{1}{s+a}, \operatorname{Re}\{s\} > -a$$

$$-e^{-at}u(-t) \xleftrightarrow{L} \frac{1}{s+a}, \operatorname{Re}\{s\} < -a$$

$$\frac{t^{n-1}}{(n-1)!} e^{-at}u(t) \xleftrightarrow{L} \frac{1}{(s+a)^n}, \operatorname{Re}\{s\} > -a$$

$$-\frac{t^{n-1}}{(n-1)!} e^{-at}u(-t) \xleftrightarrow{L} \frac{1}{(s+a)^n}, \operatorname{Re}\{s\} < -a$$

$$\delta(t-T) \xleftrightarrow{L} e^{-sT}, ROC$$

$$\frac{d^n \delta(t)}{dt^n} \xleftrightarrow{L} s^n, ROC$$

无需死记硬背
结合性质可以更容易推导并理解



§ 6.3 拉普拉斯变换的性质

(1) 线性 $ax_1(t) + bx_2(t) \xrightarrow{L} aX_1(s) + bX_2(s), ROC = R_1 \cap R_2$

(2) 时移 $x(t - t_0) \xrightarrow{L} e^{-st_0} X(s), ROC = R$

(3) S域平移 $e^{s_0 t} x(t) \xrightarrow{L} X(s - s_0), ROC = R + \text{Re}\{s_0\}$

(4) 时域尺度变换 $x(at) \xrightarrow{L} \frac{1}{|a|} X\left(\frac{s}{a}\right), ROC = aR$

(5) 共轭 $x^*(t) \xrightarrow{L} X^*(s^*), ROC = R$

(6) 卷积 $x_1(t) * x_2(t) \xrightarrow{L} X_1(s)X_2(s), ROC = R_1 \cap R_2$

(7) 时域微分 $\frac{dx(t)}{dt} \xrightarrow{L} sX(s), ROC \subset R$

(8) s 域微分 $-tx(t) \xrightarrow{L} \frac{dX(s)}{ds}, ROC = R$

(9) 时域积分 $\int_{-\infty}^t x(\tau) d\tau \xrightarrow{L} \frac{X(s)}{s}, ROC = R \cap \text{Re}\{s\} > 0$

(10) 初值与终值定理 $x(0^+) = \lim_{s \rightarrow \infty} sX(s) \quad \lim_{t \rightarrow \infty} x(t) = \lim_{s \rightarrow 0} sX(s)$

若 $t < 0$, $x(t)=0$, 且在 $t=0$ 时, $x(t)$ 不包含冲激或者高阶奇异函数



例. 设 $x(t)$ 是某信号, 它有一个有理的拉氏变换, 共有两个极点, 分别是 $s=-1$, $s=-3$ 。若 $g(t)=e^{2t}x(t)$, 其傅氏变换 $G(j\omega)$ 收敛, 试问 $x(t)$ 信号是右边? 左边? 双边?

解: $L\{x(t)\}=X(s)$, $ROC = R_1$

$$g(t) = e^{2t}x(t) \xleftrightarrow{L} G(s) = X(s-2), \quad ROC = R_1 + 2$$

$x(t)$ 两个极点: $-1, -3$ \longrightarrow $g(t)$ 两个极点: $+1, -1$ 。

$g(t)$ 的傅氏变换 $G(j\omega)$ 收敛, 表示当 $s=j\omega$ 时, $G(s)$ 是收敛的, 即 $G(s)$ 的收敛域包含 $j\omega$ 轴。

$x(t)$ 两个极点: $s=-1, s=-3$ 。

$g(t)$ 两个极点: $s=+1, s=-1$ 。



- 若 $x(t)$ 是左边信号，则 $X(s)$ 的ROC: $\text{Re}\{s\} < -3$ ， $G(s)$ 的ROC: $\text{Re}\{s\} < -1$ ，没有包含 $j\omega$ 轴。所以 $x(t)$ 不是左边信号。
- 若 $x(t)$ 是右边信号，则 $X(s)$ 的ROC: $\text{Re}\{s\} > -1$ ， $G(s)$ 的ROC: $\text{Re}\{s\} > 1$ ，没有包含 $j\omega$ 轴。所以 $x(t)$ 不是右边信号。
- 若 $x(t)$ 是双边信号，则 $X(s)$ 的ROC: $-3 < \text{Re}\{s\} < -1$ ， $G(s)$ 的ROC: $-1 < \text{Re}\{s\} < 1$ ，包含 $j\omega$ 轴。所以 $x(t)$ 是双边信号。



§ 6.3 拉普拉斯变换的性质

(1) 线性 $ax_1(t) + bx_2(t) \xrightarrow{L} aX_1(s) + bX_2(s), ROC = R_1 \cap R_2$

(2) 时移 $x(t - t_0) \xrightarrow{L} e^{-st_0} X(s), ROC = R$

(3) S域平移 $e^{s_0 t} x(t) \xrightarrow{L} X(s - s_0), ROC = R + \text{Re}\{s_0\}$

(4) 时域尺度变换 $x(at) \xrightarrow{L} \frac{1}{|a|} X\left(\frac{s}{a}\right), ROC = aR$

(5) 共轭 $x^*(t) \xrightarrow{L} X^*(s^*), ROC = R$

(6) 卷积 $x_1(t) * x_2(t) \xrightarrow{L} X_1(s)X_2(s), ROC = R_1 \cap R_2$

(7) 时域微分 $\frac{dx(t)}{dt} \xrightarrow{L} sX(s), ROC \subset R$

(8) s 域微分 $-tx(t) \xrightarrow{L} \frac{dX(s)}{ds}, ROC = R$

(9) 时域积分 $\int_{-\infty}^t x(\tau) d\tau \xrightarrow{L} \frac{X(s)}{s}, ROC = R \cap \text{Re}\{s\} > 0$

(10) 初值与终值定理 $x(0^+) = \lim_{s \rightarrow \infty} sX(s) \quad \lim_{t \rightarrow \infty} x(t) = \lim_{s \rightarrow 0} sX(s)$

若 $t < 0$, $x(t)=0$, 且在 $t=0$ 时, $x(t)$ 不包含冲激或者高阶奇异函数



§ 6.3 拉普拉斯变换的性质

(1) 线性 $ax_1(t) + bx_2(t) \xrightarrow{L} aX_1(s) + bX_2(s), ROC = R_1 \cap R_2$

(2) 时移 $x(t - t_0) \xrightarrow{L} e^{-st_0} X(s), ROC = R$

(3) S域平移 $e^{s_0 t} x(t) \xrightarrow{L} X(s - s_0), ROC = R + \text{Re}\{s_0\}$

(4) 时域尺度变换 $x(at) \xrightarrow{L} \frac{1}{|a|} X\left(\frac{s}{a}\right), ROC = aR$

(5) 共轭 $x^*(t) \xrightarrow{L} X^*(s^*), ROC = R$

(6) 卷积 $x_1(t) * x_2(t) \xrightarrow{L} X_1(s)X_2(s), ROC = R_1 \cap R_2$

(7) 时域微分 $\frac{dx(t)}{dt} \xrightarrow{L} sX(s), ROC \subset R$

(8) s 域微分 $-tx(t) \xrightarrow{L} \frac{dX(s)}{ds}, ROC = R$

(9) 时域积分 $\int_{-\infty}^t x(\tau) d\tau \xrightarrow{L} \frac{X(s)}{s}, ROC = R \cap \text{Re}\{s\} > 0$

(10) 初值与终值定理 $x(0^+) = \lim_{s \rightarrow \infty} sX(s) \quad \lim_{t \rightarrow \infty} x(t) = \lim_{s \rightarrow 0} sX(s)$

若 $t < 0$, $x(t)=0$, 且在 $t=0$ 时, $x(t)$ 不包含冲激或者高阶奇异函数



例6.10

$$x(t) = te^{-at}u(t)$$

$$e^{-at}u(t) \xleftrightarrow{L} \frac{1}{s+a}, \operatorname{Re}\{s\} > -a$$

$$te^{-at}u(t) \xleftrightarrow{L} -\frac{d}{ds} \left[\frac{1}{s+a} \right] = \frac{1}{(s+a)^2}, \operatorname{Re}\{s\} > -a$$

$$\frac{t^2}{2} e^{-at}u(t) \xleftrightarrow{L} \frac{1}{(s+a)^3}, \operatorname{Re}\{s\} > -a$$

$$\frac{t^{n-1}}{(n-1)!} e^{-at}u(t) \xleftrightarrow{L} \frac{1}{(s+a)^n}, \operatorname{Re}\{s\} > -a$$



例6.11

$$X(s) = \frac{2s^2 + 5s + 5}{(s + 1)^2(s + 2)}, \operatorname{Re}\{s\} > -1$$

$$X(s) = \frac{2}{(s + 1)^2} - \frac{1}{s + 1} + \frac{3}{s + 2}, \operatorname{Re}\{s\} > -1$$

$$x(t) = [2te^{-t} - e^{-t} + 3e^{-2t}]u(t)$$



§ 6.3 拉普拉斯变换的性质

(1) 线性 $ax_1(t) + bx_2(t) \xrightarrow{L} aX_1(s) + bX_2(s), ROC = R_1 \cap R_2$

(2) 时移 $x(t - t_0) \xrightarrow{L} e^{-st_0} X(s), ROC = R$

(3) S域平移 $e^{s_0 t} x(t) \xrightarrow{L} X(s - s_0), ROC = R + \text{Re}\{s_0\}$

(4) 时域尺度变换 $x(at) \xrightarrow{L} \frac{1}{|a|} X\left(\frac{s}{a}\right), ROC = aR$

(5) 共轭 $x^*(t) \xrightarrow{L} X^*(s^*), ROC = R$

(6) 卷积 $x_1(t) * x_2(t) \xrightarrow{L} X_1(s)X_2(s), ROC = R_1 \cap R_2$

(7) 时域微分 $\frac{dx(t)}{dt} \xrightarrow{L} sX(s), ROC \subset R$

(8) s 域微分 $-tx(t) \xrightarrow{L} \frac{dX(s)}{ds}, ROC = R$

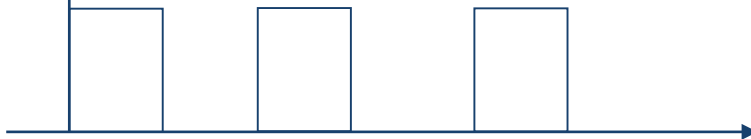
(9) 时域积分 $\int_{-\infty}^t x(\tau) d\tau \xrightarrow{L} \frac{X(s)}{s}, ROC = R \cap \text{Re}\{s\} > 0$

(10) 初值与终值定理 $x(0^+) = \lim_{s \rightarrow \infty} sX(s) \quad \lim_{t \rightarrow \infty} x(t) = \lim_{s \rightarrow 0} sX(s)$

若 $t < 0$, $x(t)=0$, 且在 $t=0$ 时, $x(t)$ 不包含冲激或者高阶奇异函数



单边矩形周期信号拉氏变换



$$x_1(t) = u(t) - u(t - \tau)$$

第一周期的信号

$$X_1(s) = \frac{1}{s} (1 - e^{-s\tau})$$

第一周期的拉氏变换

$$X(s) = \frac{X_1(s)}{1 - e^{-sT}} = \frac{1 - e^{-s\tau}}{s(1 - e^{-sT})}$$

利用时移特性
利用无穷级数求和



6.4 单边周期信号与抽样信号的拉氏变换

单边周期信号: $x(t) = x(t-nT) \quad t > 0$

$x_1(t)$: $x(t)$ 的第一周期

$$x_1(t) \xleftrightarrow{L} X_1(s)$$

第一周期的拉氏变换



$$x_1(t-nT) \xleftrightarrow{L} e^{-snT} X_1(s)$$

时移特性



$$\sum_{n=0}^{\infty} x_1(t-nT) \xleftrightarrow{L} X_1(s) \sum_{n=0}^{\infty} e^{-snT} = \frac{X_1(s)}{1 - e^{-sT}} = X_1(s) \frac{e^{sT}}{e^{sT} - 1}$$

利用无穷级数求和



抽样信号的拉氏变换

$$\delta_T(t) \cdot u(t) = \sum_{n=0}^{\infty} \delta(t - nT)$$

$$L\{\delta_T(t) \cdot u(t)\} = \sum_{n=0}^{\infty} e^{-snT} = \frac{1}{1 - e^{-sT}}, \quad \text{Re}\{s\} > 0$$

$$x_s(t) = x(t) \cdot \delta_T(t) \cdot u(t) = \sum_{n=0}^{\infty} x(nT) \delta(t - nT)$$

$$\begin{aligned} L\{x_s(t)\} &= \int_0^{\infty} \sum_{n=0}^{\infty} x(nT) \delta(t - nT) e^{-st} dt \\ &= \sum_{n=0}^{\infty} x(nT) \int_0^{\infty} \delta(t - nT) e^{-st} dt = \sum_{n=0}^{\infty} x(nT) (e^{-sT})^n \end{aligned}$$

抽样信号的拉氏变换： 离散时间信号的z变换

$$L\{x_s(t)\} = \sum_{n=0}^{\infty} x(nT) \int_0^{\infty} \delta(t - nT) e^{-st} dt = \sum_{n=0}^{\infty} x(nT) (e^{-sT})^n$$

$$e^{sT} = z$$

$$L\{x_s(t)\} = \sum_{n=0}^{\infty} x(nT) z^{-n}$$

从傅氏变换到拉氏变换

有几种情况不满足狄里赫利条件：

- 若乘一衰减因子 $e^{-\sigma t}$ ， σ 为任意实数，则 $x(t) \cdot e^{-\sigma t}$ 收敛，满足狄里赫利条件

- $u(t)$

$$u(t)e^{-\sigma t}$$

- 增长信号 $e^{at}u(t) (a > 0)$

$$e^{at} \cdot e^{-\sigma t} u(t) \quad (\sigma > a)$$

- 周期信号 $\cos \omega t u(t)$

$$e^{-\sigma t} \cos \omega t u(t)$$

FT ：实频率 ω 是振荡频率。

LT ：复频率 $s = \sigma + j\omega$ ， ω 是振荡频率， σ 控制衰减速度



6.5 拉普拉斯反变换

$$x(t) = \frac{1}{2\pi j} \int_{\sigma-j\infty}^{\sigma+j\infty} X(s)e^{st} ds$$

积分路径：满足 $\text{Re}\{s\} = \sigma$ 的全部 s 点的直线（平行于 $j\omega$ 轴）
反变换的积分求值, 要利用复平面的围线积分

部分分式展开法: (有理函数)

$$X(s) = \frac{N(s)}{D(s)} = \frac{b_0 + b_1s + \dots + b_ms^m}{a_0 + a_1s + \dots + a_ns^n}$$

采用部分分式展开法: 将有理拉氏变换式展开成低阶的线性组合, 其中每一个低阶项的反变换, 由拉氏变换性质或者查表得到

注意收敛区域: 左边信号、右边信号, 双边信号

(1) $X(s)$ 分母多项式有 n 个互异单根 (实根、共轭复数根)

$$X(s) = \frac{N(s)}{D(s)} = \frac{b_0 + b_1s + \dots + b_ms^m}{a_n(s - p_1)(s - p_2)\dots(s - p_n)}$$

$$\begin{aligned} X(s) &= \frac{N(s)}{D(s)} = \frac{k_1}{(s - p_1)} + \frac{k_2}{(s - p_2)} + \dots + \frac{k_n}{(s - p_n)} \\ &= \sum_{i=1}^{\infty} \frac{k_i}{(s - p_i)} \end{aligned}$$

$$k_i = X(s)(s - p_i)|_{s = p_i}$$

$$x(t) = \sum_{i=1}^{\infty} k_i e^{p_i t} u(t) \quad \text{如果是右边信号}$$

(1) $X(s)$ 分母多项式有 n 个互异单根 (实根、共轭复数根)

$$X(s) = \frac{N(s)}{D(s)} = \frac{b_0 + b_1s + \dots + b_ms^m}{a_n(s - p_1)(s - p_2)\dots(s - p_n)}$$

$$X(s) = \frac{1}{(s+1)(s+2)}$$

$$\text{Re}\{s\} > -1$$

$$\begin{aligned} X(s) &= \frac{N(s)}{D(s)} = \frac{k_1}{(s - p_1)} + \frac{k_2}{(s - p_2)} + \dots + \frac{k_n}{(s - p_n)} \\ &= \sum_{i=1}^{\infty} \frac{k_i}{(s - p_i)} \end{aligned}$$

$$X(s) = \frac{1}{s+1} + \frac{-1}{s+2}$$

$$k_i = X(s)(s - p_i) \Big|_{s=p_i}$$

$$A = [(s+1)X(s)] \Big|_{s=-1}$$

$$B = [(s+2)X(s)] \Big|_{s=-2}$$

$$x(t) = \sum_{i=1}^{\infty} k_i e^{p_i t} u(t) \quad \text{如果是右边信号}$$

$$x(t) = e^{-t}u(t) - e^{-2t}u(t)$$

$$\text{Re}\{s\} > -1$$

分子阶次高于分母时

例

$$X(s) = \frac{s^3 + 5s^2 + 9s + 7}{(s + 1)(s + 2)}, \quad \operatorname{Re}\{s\} > -1$$

长除法

$$X(s) = s + 2 + \frac{s + 3}{(s + 1)(s + 2)}$$

$$X(s) = s + 2 + \frac{2}{(s + 1)} - \frac{1}{(s + 2)} \quad k_i = X(s)(s - p_i)|_{s = p_i}$$

$$x(t) = \delta'(t) + 2\delta(t) + (2e^{-t} - e^{-2t})u(t)$$

(2) $X(s)$ 分母多项式包含重根

$$X(s) = \frac{N(s)}{D(s)} = \frac{N(s)}{(s - p_1)^k D_1(s)}$$

$$X(s) = \frac{k_{11}}{(s - p_1)^k} + \frac{k_{12}}{(s - p_1)^{k-1}} + \cdots + \frac{k_{1k}}{(s - p_1)} + \frac{B(s)}{D(s)}$$

$$k_{11} = X(s)(s - p_1)^k \big|_{s = p_1}$$

$$k_{12} = \frac{d[X(s)(s - p_1)^k]}{ds} \big|_{s = p_1}$$

$$k_{1i} = \frac{1}{(i - 1)!} \frac{d^{(i-1)}[X(s)(s - p_1)^k]}{ds^{i-1}} \big|_{s = p_1}$$

(2) $X(s)$ 分母多项式包含重根

$$X(s) = \frac{N(s)}{D(s)} = \frac{N(s)}{(s - p_1)^k D_1(s)}$$

$$X(s) = \frac{s - 2}{s(s + 1)^3},$$

$$\operatorname{Re}\{s\} > 0$$

$$X(s) = \frac{k_{11}}{(s - p_1)^k} + \frac{k_{12}}{(s - p_1)^{k-1}} + \dots + \frac{k_{1k}}{(s - p_1)} + \frac{B(s)}{D_1(s)}$$

$$X(s) = \frac{k_{31}}{(s + 1)^3} + \frac{k_{42}}{(s + 1)^2} + \frac{k_{43}}{(s + 1)} + \frac{k_2}{s}$$

$$k_{11} = X(s)(s - p_1)^k \big|_{s = p_1}$$

$$k_{11} = \frac{s - 2}{s} \big|_{s = -1} = 3$$

$$k_{12} = \frac{d[X(s)(s - p_1)^k]}{ds} \big|_{s = p_1}$$

$$k_{12} = \frac{d \frac{s - 2}{s}}{ds} \big|_{s = -1} = 2$$

$$k_{1i} = \frac{1}{(i - 1)!} \frac{d^{(i-1)}[X(s)(s - p_1)^k]}{ds^{i-1}} \big|_{s = p_1}$$

$$k_{13} = \frac{1}{2!} \frac{d^2 \frac{s - 2}{s}}{ds^2} \big|_{s = -1} = 2$$

$$x(t) = \left(3 \frac{t^2}{2} e^{-t} + 2te^{-t} + 2e^{-t} - 2 \right) u(t)$$

$$k_2 = sX(s) \big|_{s=0} = -2$$

例6.15 (1)

$$X(s) = \frac{1}{(s+1)(s+2)}$$

$$\text{Re}\{s\} < -2$$

$$X(s) = \frac{1}{(s+1)} - \frac{1}{(s+2)}$$

$$-e^{-t}u(-t) \xleftrightarrow{L} \frac{1}{s+1}, \text{Re}\{s\} < -1$$

$$-e^{-2t}u(-t) \xleftrightarrow{L} \frac{1}{s+2}, \text{Re}\{s\} < -2$$

$$x(t) = [-e^{-t} + e^{-2t}]u(-t) \xleftrightarrow{L} \frac{1}{(s+1)(s+2)}, \text{Re}\{s\} < -2$$

例6.15 (2) $X(s) = \frac{1}{(s+1)(s+2)}$ $-2 < \text{Re}\{s\} < -1$

$$X(s) = \frac{1}{(s+1)} - \frac{1}{(s+2)}$$

$$\frac{1}{(s+1)} \xleftrightarrow{L} -e^{-t}u(-t), \quad \text{Re}\{s\} < -1 \quad \text{左边信号}$$

$$\frac{1}{(s+2)} \xleftrightarrow{L} e^{-2t}u(t), \quad \text{Re}\{s\} > -2 \quad \text{右边信号}$$

$$x(t) = -e^{-t}u(-t) - e^{-2t}u(t) \xleftrightarrow{L} \frac{1}{(s+1)(s+2)}, \quad -1 < \text{Re}\{s\} < -2$$